

広島大学 正員 網干寿夫
広島大学 正員 ○吉国洋

1. まえがき

Vertical Drain 工法の設計にあたって Drain 中の損失水頭が条件によっては非常に大きく圧密過程に影響を及ぼし特に Vertical Drain 先端部の圧密にかなりの遅れが出るので三次元的な考え方で設計する必要がある事を昨年の学会に於いて述べ Vertical Drain 中の損失水頭に関する基礎方程式は(1)式で表わされ、その解の形は(6)式となる事を示した。然しそう(6)式中の $\int \frac{dt}{D(t)}$ の積分が容易ではない。そこで今年度は Vertical Drain 中の損失水頭の挙動及び圧密過程に及ぼす影響について電気的シミュレートモデルを用いて模型実験を行い定量的に把握する事が出来た。

2. 電気的モデルと圧密モデル

今 比抵抗 f_e N/cm と蓄電容量 C Farad/cm³ をもつて媒質を考え媒質中の微小要素に流入する電気量と流出する電気量の差を微小要素が放電又は蓄電する量に等しいと置き問題を一次元に想定すれば

$$\frac{\partial E}{\partial t} = \frac{1}{C f_e} \frac{\partial^2 E}{\partial z^2} \quad (E: \text{電圧}) \quad \dots \dots (1)$$

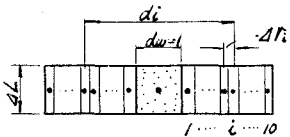
なる方程式が得られる。(1)式は熱伝導型の方程式であり圧密に於ける $C_D = \frac{f_e}{f_w m_p}$ は $\frac{1}{C f_e}$ に相当し相以解析が可能である。尚 $\frac{1}{f_w m_p}$ は $\frac{1}{C}$ に対応し m_p は $\frac{1}{f_e}$ に対応している。

3. ランプ化とスケーリング

この模型実験では Vertical Drain 全体と Fig. 1 に示す様に深度方向に 10 個の要素に分割し更に Radial 方向に各要素の体積を等しくする様な方法で 10 個に分割した。そして各要素に含まれている水は各要素の中心に集中しているものとしてシミュレートモデルを作成し尚媒質中の電気抵抗 R_{ci} ($i=1 \dots 10$) コンデンサー C 及び Vertical Drain 中の電気抵抗 R_w は次式で算定した。

$$R_{ci} = \frac{4 \pi d_i}{d_i \cdot \pi d_i} R_c \quad \dots \dots (2) \quad C = \Delta V_c C \quad \dots \dots (3) \quad R_w = \frac{4 \pi L}{\pi d w^2} R_w \quad \dots \dots (4)$$

Fig. 1 Vertical Drain とシミュレートモデルの対応関係



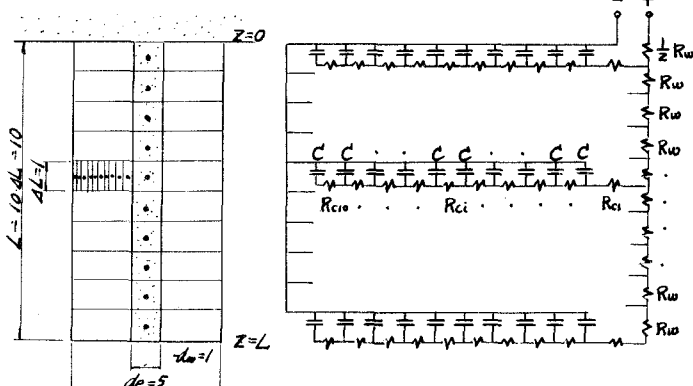
d_i : ランプ間距離

$$\Delta r_i = \frac{1}{10} \frac{\pi}{4} (n^2 - 1) d w^2 \cdot \Delta L$$

f_w : Vertical Drain の土抵抗

R_c : 粘土の透水係数

R_w : Vertical Drain の透水係数



この様にして作られたシミュレートモデルの $R_w=0$ の場合のロ-T 曲線と Barron の D-T 曲線を比較したのが Fig. 2 であって圧密終期に少し遅れが出ているが初期の目的は達成したものと考えている。尚測定の方法は Vertical Drain に相当する部分の電流を電磁オシロで記録する方法を用いた。

4. Vertical Drain 中の損失水頭に影響する Factor

模型実験を行うにあたって何を Factor にするかは重要な問題である。これについて著者は昨年 Vertical Drain 中の損失水頭に関する基礎方程式が

$$\frac{R_w}{R_w + n^2} \frac{\partial^2 h}{\partial z^2} = \frac{\partial}{\partial t} \int_0^t U(t-t') \frac{\partial h}{\partial t'} dt' \quad (5)$$

で表わされその解の形は

$$h(t, z) = \frac{4 R_w}{\pi} \sum_m \frac{1}{m} \sin \frac{m \pi z}{2L} e^{-m^2/4} \int_0^t U(t-t') \frac{\partial h}{\partial t'} dt' \dots (6)$$

$$\beta = \frac{\pi^2 (n^2 - 1)}{4 n^2} \left(\frac{d \alpha}{d w} \right) \left(\frac{R_w}{R_w} \right)$$

である事と示し損失水頭に影響する Factor は $\frac{(n^2 - 1)}{4 n^2} \left(\frac{d \alpha}{d w} \right)^2 \left(\frac{R_w}{R_w} \right)$ に關係ある事を述べた。尚(6)式の積分中には $f(m) = \frac{n^2 - 1}{n^2} \log n - \frac{3 n^2 - 1}{4 n^2}$ が含まれている。今度の模型実験では n を一定とし $R = \left(\frac{L}{d w} \right)^2 \left(\frac{R_w}{R_w} \right)$ を parameter として整理した。尚 $R = \left(\frac{L}{d w} \right)^2 \left(\frac{R_w}{R_w} \right)$ は(2)式と(4)式を用いて計算すれば

$$R = \left(\frac{L}{d w} \right)^2 \left(\frac{R_w}{R_w} \right) = \left(\frac{L}{d w} \right)^2 \left(\frac{f_m}{f_m} \right) = \frac{4 R_w}{4 d_i \cdot R_{ci}} \left(\frac{L}{d_i} \right)^2 \cdot R_w$$

となり $\frac{4 R_w}{4 d_i \cdot R_{ci}} = \text{const.}$ である。従ってシミュレートモデルに於いて dL を任意に考へても 式は自動的に満たされるので $\left(\frac{L}{d w} \right)^2$ の影響を見るためにランプ数を変化させる事をせず専ら R_w だけ変化させて模型実験を行った。

5. シュミレートモデルによる実験結果

Fig. 3 は $Z=L$ に於ける損失水頭の時間的変化と $R = \left(\frac{L}{d w} \right)^2 \left(\frac{R_w}{R_w} \right)$ を parameter に示したものである。R が小さい時には $T=t+0$ に於ける損失水頭の大きさも小さく半対数で上に凸の変化をする。R が大きくなるにつれて $T=t+0$ の損失水頭も大きくなり $R = 6.55 \times 10^{-1}$ では殆んど一定速度で減少していく。Fig. 3 中に Barron の D-T Curve が入れてあり損失水頭の時間的変化との相対関係が示してある。Fig. 4 は $T=t+0$ に於ける $Z=L$ の損失水

Fig. 2 理論曲線との比較

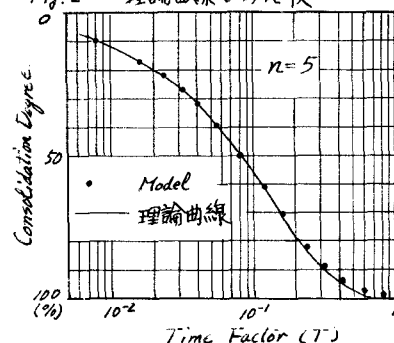


Fig. 3 $Z=L$ に於ける損失水頭の時間的変化

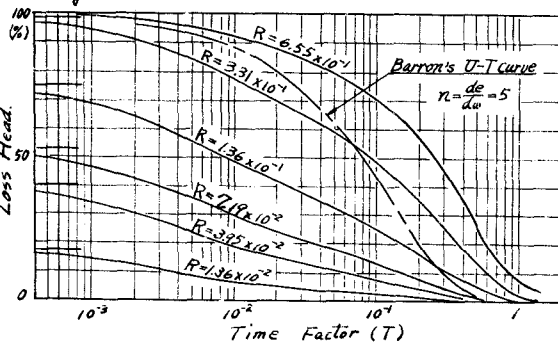


Fig. 4 $T=t+0$ に於ける $Z=L$ の損失水頭

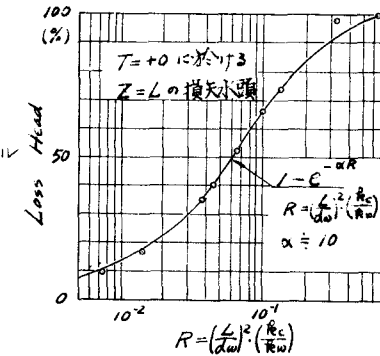
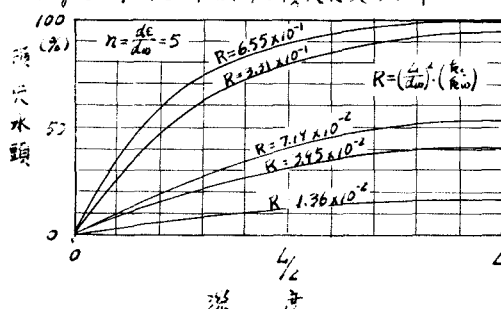


Fig. 5 $T=t+0$ に於ける損失水頭の分布



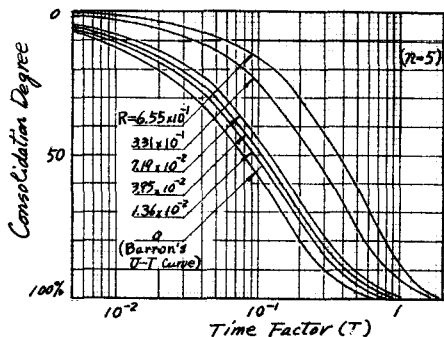
頭が R の大きさによって変化し $1 - \exp\left\{-10\left(\frac{L}{d_w}\right)^2\left(\frac{R_c}{R_w}\right)\right\}$ の曲線にのる事を示したものである。Fig.5は $T=10$ の深度方向の損失水頭分布と R を parameter に示したものである。この様に Vertical Drain の損失水頭が $T=10$ に於いて不連続的な減少をする事について実際には非常に急激な連続的変化であるのかも知れないが工学的には不連続な変化をすると考へても差支えないと思われる。

Fig.6は Vertical Drain 全体としての平均圧密度と時間の関係を R を parameter に示したものである。

Fig.7は Fig.6 を書き直して或る圧密度に達する時間と R との関係にしたものである。圧密の遅れは圧密過程の前半で大きく後半に入つて或る程度回復しており単純に C_v を何倍かしたロ-T 曲線ではない事が分る。

Fig.8 及び Fig.9 は夫々 $Z=L$ の圧密過程を Fig.6, Fig.7 と同様に整理したものである。これをみると上に述べた傾向は更に顕著である。特に R の値が 10^1 を越すと Vertical Drain 中の損失水頭が圧密過程に及ぼす影響は急激に増加するようである。

Fig.8 $Z=L$ に於ける平均圧密度 時間曲線



6. 室内模型実験

前述のシミュレートモデルを用いて得られた結果を検証する意味で Fig.10 に示す試験装置を用いて模型実験を行つた。模型の寸法は夫々 $L=8.0\text{m}$, $d_e=20\text{cm}$, $d_w=3\text{cm}$, $n=6.8$ であつて Drain 材料としては豊浦産の標準砂を用いた。透水試験及び一軸圧密試験の結果より夫々 $R_w=3.0 \times 10^{-2} \text{ cm/sec}$, $R_c=2.1 \times 10^{-7} \text{ cm/sec}$ と推定してシミュレートモデルより得た結果に適用した。尚シミュレートモデルは $n=5$ であるが n の相違による影響は無視している。室内模型の R の値は前述の値を入れて計算すれば $R=5 \times 10^{-1}$ である。

Fig.6 三次元的平均圧密度時間曲線

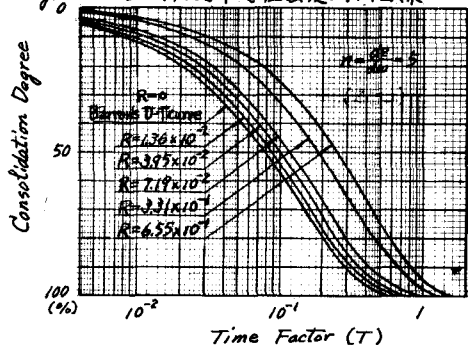


Fig.7

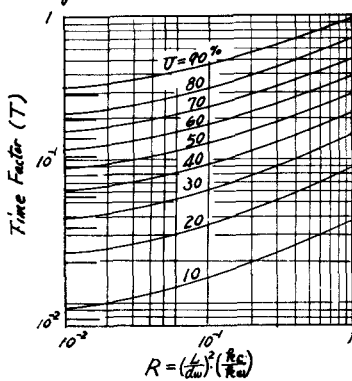


Fig.9

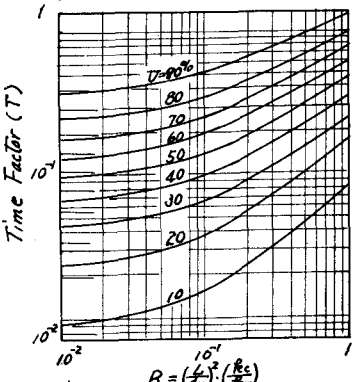


Fig. 11 は $Z=L$ に於ける損失水頭の時間的变化, $Z=L$, $Z=\frac{1}{2}L$ 及び全体の圧密度時間曲線の実測値とシミュレーションモデルによる曲線を比較したものである。結果は比較的よく一致しているが室内模型実験の方が幾分遅れる傾向が見られる。

7. 考察

以上 $R = \left(\frac{L}{d_w}\right)^2 \left(\frac{k_c}{k_w}\right)$ を parameter にとれば Vertical Drain 中の損失水頭が圧密過程に及ぼす影響をよくうなぐる事を述べて来たが実際の地盤改良に於いてはどの程度の影響をうけているかを検討してみる。サンドドレーン工法とペーパードレーン工法について次の条件を仮定すると

サンドドレーン ペーパードレーン

$$n = 5$$

$$L = 20.0 \text{ m}$$

$$d_w = 40 \text{ cm}$$

$$R_c = 10^{-7} \text{ cm/sec}$$

$$R_w = 3 \times 10^{-3} \text{ cm/sec}$$

$$R = 8 \times 10^{-2}$$

$$n = 30$$

$$L = 20.0 \text{ m}$$

$$d_w = 2 \text{ cm } (3 \text{ cm}^2 \text{ を円に換算})$$

$$R_c = 10^{-7} \text{ cm/sec}$$

$$R_w = 10^{-1} \text{ cm/sec}$$

$$R' = 3.3 \times 10^{-1}$$

$$\text{全体の平均圧密度が } 80\% \text{ に達する時間 } (T_{80,R=0}/T_{80,R=0})$$

$$\text{表層部 } (R=0) \text{ が圧密度 } 80\% \text{ に達した時 } Z=L \text{ の圧密度 } (U_{Z=L})$$

この様に相当大きな影響があると考えられる。特に Vertical Drain 先端部の圧密のおくれが相当あり一般によく言われる様に 10m 以下の強度が増加していく事はこの事からも説明される。圧密速度については C_1 そのものが室内実験で求めにくい事もあり現場の圧密流下曲線の 50% 附近でフィーリングして C_1 を逆算しているのでその影響は当然としないが本来の C_1 はもっと大きい筈である。強度の増加という観点からは損失水頭の影響は無視出来ないと考えられる。

尚今回の模型実験は $n = \frac{d_w}{L} = 5$ について行つたものであるが他のものの組に対してても同様に行う事が出来る。本研究は文部省科学研究費(試験研究)の援助を受けてなされたものであり東京より謝意を表す。

網干 吉国 Vertical Drain 工法の三次元的設計法に関する基礎的研究 昭41. 土木学会年次講演会
R. A. Barron Consolidation of Fine-Grained Soils by Drain Wells. Trans. A.S.C.E. 1968